

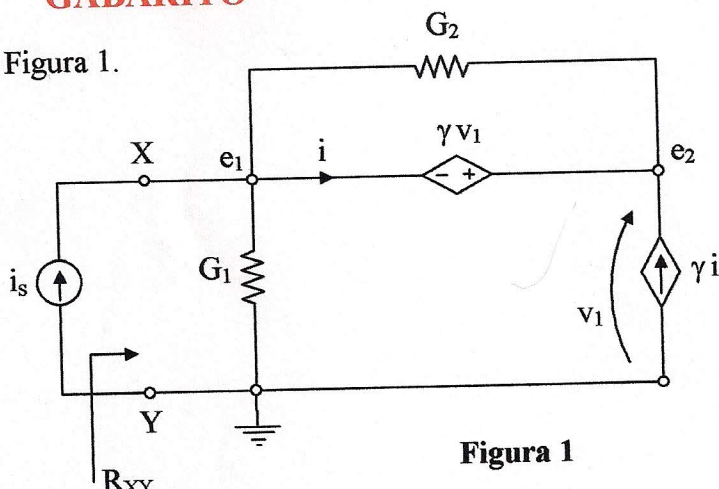
**PSI.3211 – CIRCUITOS ELÉTRICOS I**

**2<sup>a</sup> Prova Semestral – 13/05/19**

**GABARITO**

**1<sup>a</sup> Questão: ( 4,0 pontos )**

Considere o circuito mostrado na Figura 1.



**Figura 1**

**OBS.: Responda às questões nos espaços reservados.**

(1,0) a) Escrevendo as equações de Análise Nodal para este circuito nas incógnitas  $e_1$ ,  $e_2$  e  $i$

obteve-se

$$\begin{bmatrix} A & -G_2 & 1 \\ B & G_2 & -5 \\ 1 & 3 & C \end{bmatrix} \begin{bmatrix} e_1 \\ e_2 \\ i \end{bmatrix} = \begin{bmatrix} D \\ 0 \\ 0 \end{bmatrix}$$

Obtenha os valores de A, B, C e D em função de  $G_1$ ,  $G_2$  e  $i_s$ .

As equações de Análise Nodal são:

$$(e_1) i_s = e_1 G_1 + (e_1 - e_2) G_2 + i$$

$$(e_2) i = -\gamma i + (e_2 - e_1) G_2$$

$$(i) e_2 - e_1 = \gamma e_2$$

$$\begin{bmatrix} G_1 + G_2 & -G_2 & 1 \\ -G_2 & G_2 & -(\gamma + 1) \\ 1 & \gamma - 1 & 0 \end{bmatrix} \begin{bmatrix} e_1 \\ e_2 \\ i \end{bmatrix} = \begin{bmatrix} i_s \\ 0 \\ 0 \end{bmatrix}$$

$$A = \underline{\underline{G_1 + G_2}} \quad B = \underline{\underline{-G_2}} \quad C = \underline{\underline{0}} \quad D = \underline{\underline{i_s}}$$

(1,0) b) Nas mesmas condições do item 1 determine o valor de  $\gamma$

$$\begin{aligned} \gamma + 1 &= 5 \\ \gamma - 1 &= 3 \end{aligned} \quad \left\{ \begin{array}{l} \gamma = 4 \end{array} \right.$$

$$\gamma = \underline{\underline{4}}$$

(1,0) c) Para  $v_1(t) = 3 \cos 4t$  (A,s) e certos valores dos parâmetros do circuito a matriz das

imitâncias nodais obtida foi  $G_n = \begin{bmatrix} 3 & -2 & 1 \\ -2 & 2 & -5 \\ 1 & 3 & 0 \end{bmatrix}$

Obtenha a expressão de  $v_1(t)$  nessas condições.

$$v_1(t) = v_2(t) = \frac{\begin{vmatrix} 3 & 3 & 1 \\ -2 & 0 & -5 \\ 1 & 0 & 0 \end{vmatrix}}{\begin{vmatrix} 3 & -2 & 1 \\ -2 & 2 & -5 \\ 1 & 3 & 0 \end{vmatrix}} \cos 4t$$

$$= -0,3191 \cos 4t$$

$$v_1(t) = \underline{\underline{0,3191 \cos(4t + 180^\circ)}}$$

(1,0) d) Considerando que a matriz das imitâncias nodais para certos valores dos parâmetros é

$$G_n = \begin{bmatrix} 2 & -2 & 1 \\ -2 & 2 & -6 \\ 1 & 4 & 0 \end{bmatrix}$$

Calcule a resistência vista pelo gerador de corrente ( $R_{XY}$ ) e o correspondente valor de  $\gamma$ .

Supondo  $i_s = 1$ ,  $R_{XY} = e_1$ ,

$$e_1 = \frac{\begin{vmatrix} 1 & -2 & 1 \\ 0 & 2 & -6 \\ 0 & 4 & 0 \end{vmatrix}}{\det[G_n]} = 0,48\Omega$$

$$\begin{aligned} -\gamma + 1 &= -6 \\ \gamma + 1 &= 4 \end{aligned} \quad \left\{ \begin{array}{l} \gamma = 5 \\ \gamma = -5 \end{array} \right.$$

$$R_{XY} = \frac{0,48\Omega}{1} \quad \gamma = \frac{5}{1}$$

**Atenção: Preencher a folha ótica com seu nome, número USP e opções escolhidas para cada teste.**

Para os testes de 1 a 3, considere o circuito da Figura 2 que opera em regime permanente senoidal e  $\alpha$  é um ganho de corrente positivo.

1 – Qual é a expressão da tensão  $\hat{E}_0$  de Thévenin ?

- a)  $\frac{\alpha}{\alpha + j}$
- b)  $\frac{(1+\alpha)}{(1+\alpha)+j}$
- c)  $2(1-\alpha)$
- d)  $\frac{2(1+\alpha)}{(1+\alpha)-j}$
- e)  $\frac{(4-\alpha)}{(1+\alpha)+j}$

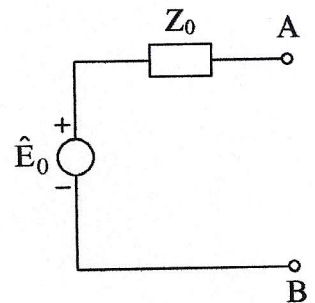
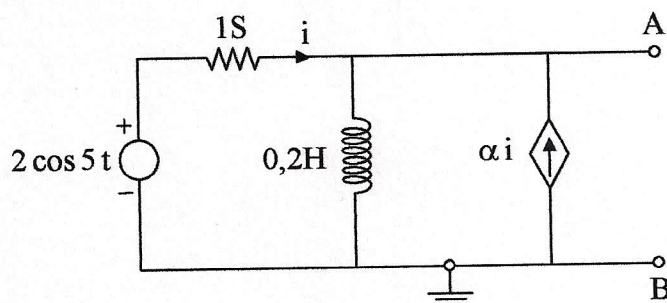


Figura 2

2 – Qual é a expressão da corrente  $\hat{I}_0$  de A para B, quando esses terminais estão em curto (corrente do gerador de Norton)?

- a)  $2(1+\alpha)$
- b)  $4(1-\alpha)$
- c)  $1+3\alpha$
- d)  $(1-\alpha)$
- e)  $\alpha+j$

3 – Qual é a expressão da impedância  $Z_0$  de Thévenin ?

- a)  $\frac{2(1-\alpha)}{\alpha} \cdot (\alpha + j)$
- b)  $\frac{1}{1-j+\alpha}$
- c)  $\frac{1}{2[(1+\alpha)+j]}$
- d)  $\frac{\alpha}{2(1-\alpha)(\alpha+j)}$
- e)  $\frac{\alpha}{(\alpha+j)^2}$

4 – Considere o circuito da Figura 3 com  $\beta = 1 - \frac{1}{\alpha}$ ,  $\alpha \neq 0$  e  $\alpha \neq 1$ .

Qual é o valor da resistência  $R_0$  do gerador de Thévenin com terminais A e B ?

- a) 0
- b)  $R/4$
- c)  $R/2$
- d)  $2R$
- e)  $R$

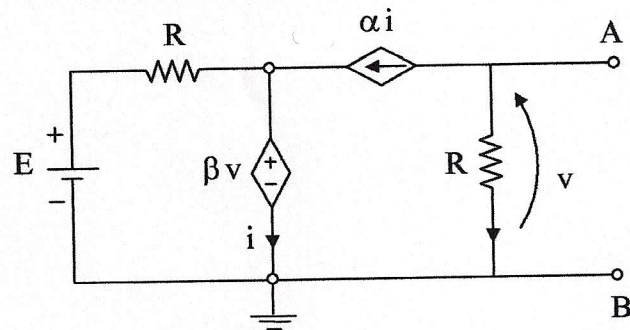
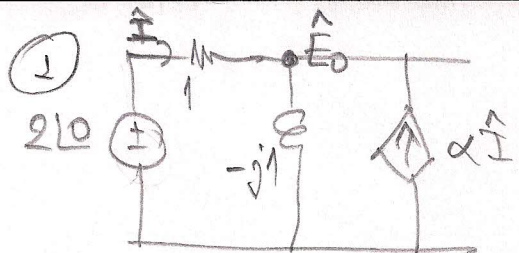


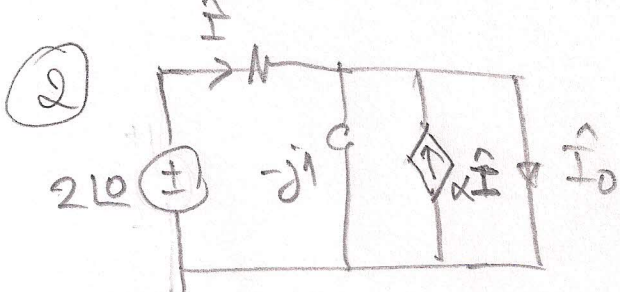
Figura 3



$$\hat{E}_0(\hat{E}_0 - 2) - j1\hat{E}_0 - \alpha(2 - \hat{E}_0) = 0$$

$$\hat{E}_0(1 - j + \alpha) = 2 + 2\alpha$$

$$\hat{E}_0 = \frac{2(1+\alpha)}{(1+\alpha)-j}$$



A tensão no indutor é 0  $\Rightarrow$   
a corrente é  $-j1 \cdot 0 = 0$

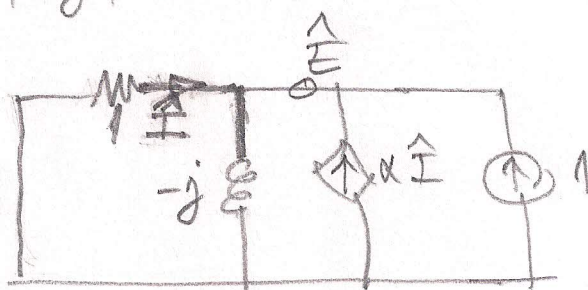
$$\hat{I}_0 = \hat{I} + \alpha \hat{I} = (1 + \alpha) \hat{I} = 2(1 + \alpha)$$

$\downarrow$   
 $1 \cdot 2jI_0$

3

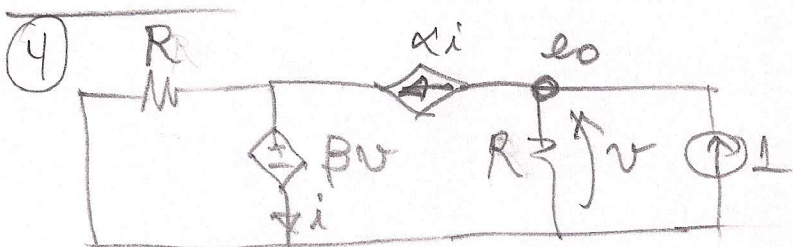
$$Z_0 = \hat{E}_0 / \hat{I}_0 = \frac{1}{1 - j + \alpha}$$

Diretamente:



(E)  $\hat{E} - j\hat{E} - \alpha(-\hat{E}) - 1 = 0 \Rightarrow \hat{E}(1 - j + \alpha) = 1$

$$Z_0 = \frac{\hat{E}}{1} = \frac{1}{1 + \alpha - j}$$



I)  $\frac{\beta e_0}{R} + i - \alpha i = 0 \quad \left\{ \begin{array}{l} \text{Isolando } i \text{ de I} \\ \text{substituindo em II:} \end{array} \right.$

II)  $\alpha i + \frac{e_0}{R} - 1 = 0 \quad \left\{ \alpha \left[ \frac{\beta e_0}{R(\alpha-1)} \right] + \frac{e_0}{R} - 1 = 0 \right.$

$$e_0 \left[ \frac{\alpha \beta}{R(\alpha-1)} + \frac{1}{R} \right] = 1 \quad \text{mas} \quad \beta = \frac{\alpha-1}{\alpha} \Rightarrow R_0 = \frac{e_0}{1} = \frac{R}{2}$$

5 – No circuito da Figura 4, os valores mais próximos de  $i$  e  $v$ , em A e V, respectivamente são:

- a) 1,00 e 1,00
- b) 1,00 e 1,41
- c) 1,41 e 2,14
- d)** 2,14 e 6,00
- e) 2,14 e 5,00

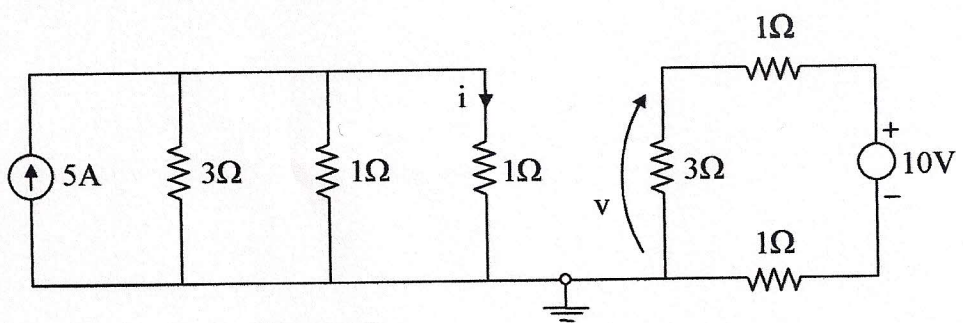


Figura 4

6 – Considere os circuitos das Figuras 5a e 5b.

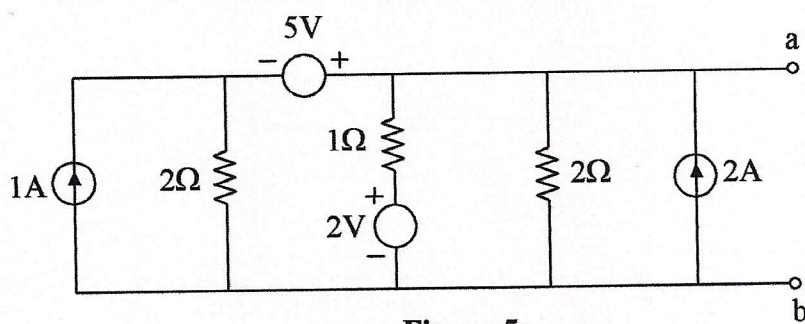


Figura 5a

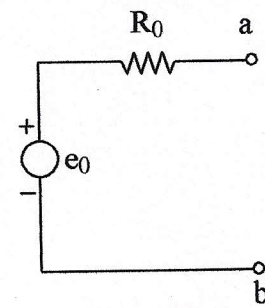


Figura 5b

Os valores mais próximos de  $e_0$  e  $R_0$  em V e  $\Omega$ , são:

- a) 4,00 e 0
- b) 4,00 e 0,50
- c) 3,00 e 1,00
- d) 3,50 e 0,75
- e)** 3,75 e 0,50

Considere o circuito da Figura 6a para os testes 7 e 8.

7 – Na Figura 6a, converteu-se o triângulo acd em estrela. O acesso ab do circuito da Figura 6a é equivalente ao acesso ab do circuito da Figura 6b. A opção com os possíveis valores mais próximos de  $R_{a0}$ ,  $R_{b0}$  e  $R_{b1}$ , em  $\Omega$ , respectivamente são:

- a) 1, 5 e 3
- b) 2, 4 e 5
- c)  $\frac{1}{2}$ ,  $\frac{5}{2}$  e  $\frac{5}{4}$
- d)  $\frac{1}{2}$ ,  $\frac{1}{4}$  e  $\frac{1}{5}$
- e)  $\frac{1}{4}$ ,  $\frac{5}{4}$  e  $\frac{3}{4}$

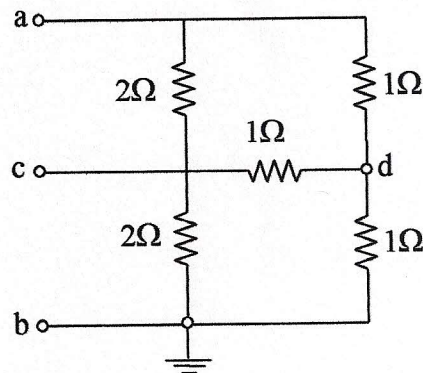


Figura 6a

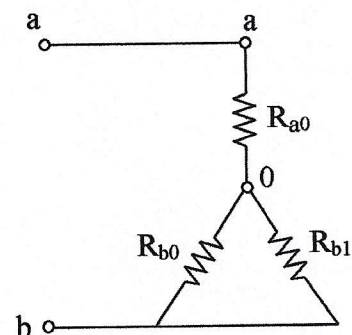


Figura 6b

8 – O acesso ab do circuito da Figura 6a é equivalente ao acesso ab do circuito da Figura 6c. A opção com os valores mais próximos de  $R_{ac}$ ,  $R_{bc}$  e  $R_{ab}$ , em  $\Omega$ , respectivamente são:

- a)  $\frac{6}{5}$ ,  $\frac{6}{5}$  e 3
- b)  $\frac{2}{5}$ ,  $\frac{4}{5}$  e 3
- c)  $\frac{5}{6}$ ,  $\frac{5}{6}$  e 6
- d) 2, 4 e 5
- e)  $\frac{1}{2}$ ,  $\frac{5}{2}$  e  $\frac{3}{2}$

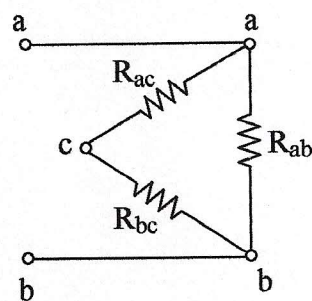


Figura 6c

Gabarito

5) Por divisão de corrente, temos

$$j = \frac{15.5A}{\frac{1}{3}\Omega + 1\Omega + 1\Omega}$$

$$= \frac{5}{\frac{1+3+3}{3}} A \rightarrow j = \frac{15}{7} A$$

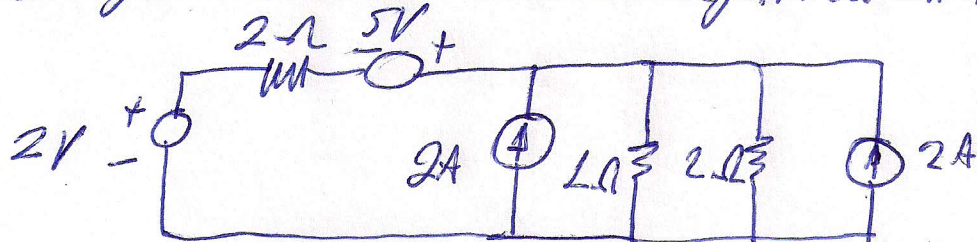
$$= 2,1429 A$$

Por divisão de tensão, temos

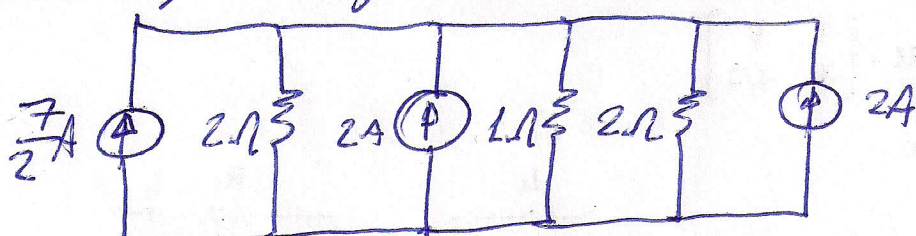
$$V = \frac{3\Omega}{3\Omega + 1\Omega + 1\Omega} \cdot 10V$$

$$= \frac{3}{5} \cdot 10V \rightarrow V = 6V$$

6) Transformamos a fonte de corrente à esquerda em fonte de tensão e a fonte de tensão no meio em fonte de corrente



Associamos em série as fontes de tensão à esquerda e correntes a direita em uma fonte de corrente



A associado em paralelo das fontes de corrente é

$$i_{eq} = \frac{3}{9}A + 2A + 2A = \frac{15}{2} A$$

A associação em paralelo dos resistores é

$$R_{eq} = \frac{1}{\frac{1}{2}\Omega + 1\Omega + \frac{1}{2}\Omega} \rightarrow R_{eq} = \frac{1}{2} \Omega$$

Finalmente

$$E_{eq} = R_{eq} \cdot i_{eq} \rightarrow E_{eq} = \frac{15}{4} V$$

$$= 375V$$

7) Convertemos o  $\Delta$ acd na Yacd:

$$R_d = 2\Omega + 1\Omega + 1\Omega \rightarrow R_d = 4\Omega$$

$$G_{ao} = \frac{R_d}{R_{ac} \cdot R_{ad}} = \frac{4}{2 \times 1} S = 2S \rightarrow R_{ao} = \frac{1}{2}\Omega$$

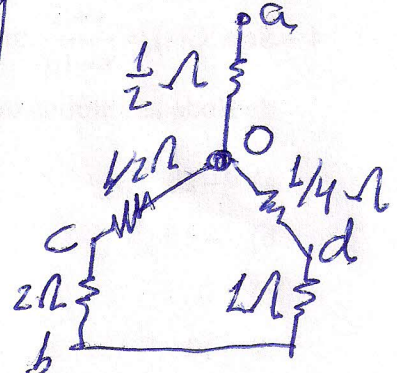
$$G_{co} = \frac{R_d}{R_{ac} \cdot R_{cd}} = \frac{4}{2 \times 2} S = 2S \rightarrow R_{co} = \frac{1}{2}\Omega$$

$$G_{do} = \frac{R_d}{R_{cd} \cdot R_{ad}} = \frac{4}{1 \times 1} S = 4S \rightarrow R_{do} = \frac{1}{4}\Omega$$

Fazendo as associações em série nos ramos inferiores, obtemos

$$R_{b_0} = \frac{1}{2}\Omega + 2\Omega \rightarrow R_{b_0} = \frac{5}{2}\Omega$$

$$R_{b_1} = \frac{1}{4}\Omega + 1\Omega \rightarrow R_{b_1} = \frac{5}{4}\Omega$$



8) Convertemos a Yacd no  $\Delta$ acb;

$$G_y = 1S + 1S + 1S \rightarrow G_y = 3S$$

$$R_{yac} = \frac{G_y}{G_{ad} \cdot G_{cd}} = \frac{3}{1 \cdot 1} \Omega \rightarrow R_{yac} = 3\Omega$$

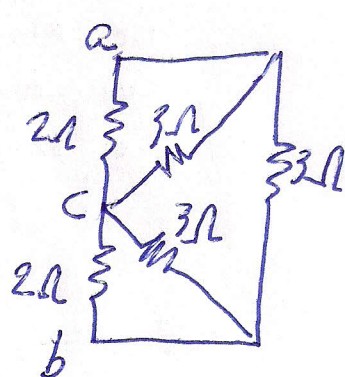
$$R_{ycb} = \frac{G_y}{R_{cd} \cdot R_{bd}} = \frac{3}{1 \cdot 1} \Omega \rightarrow R_{ycb} = 3\Omega$$

$$R_{ab} = \frac{G_y}{G_{ad} \cdot G_{bd}} = \frac{3}{1 \cdot 1} \Omega \rightarrow R_{ab} = 3\Omega$$

Fazendo as associações em paralelo à esquerda, obtemos

$$R_{ac} = \frac{1}{\frac{1}{2} + \frac{1}{3}} \Omega \rightarrow R_{ac} = \frac{6}{5}\Omega$$

$$R_{bc} = \frac{1}{\frac{1}{2} + \frac{1}{3}} \Omega \rightarrow R_{bc} = \frac{6}{5}\Omega$$



9 – O circuito da Figura 7 opera em R.P.S. (regime permanente senoidal) sua equação de

análise nodal é dada por  $\begin{bmatrix} 0,02 - j90 & +j90 \\ +j90 & 10^{-3} - j90 \end{bmatrix} \begin{bmatrix} \hat{E}_1 \\ \hat{E}_2 \end{bmatrix} = \begin{bmatrix} 10/45^\circ \\ 0 \end{bmatrix}$ .

A frequência  $\omega$  (em rad/s) do gerador de corrente vale:

- a) 1
- b)** 10
- c) 377
- d) 235
- e) 100

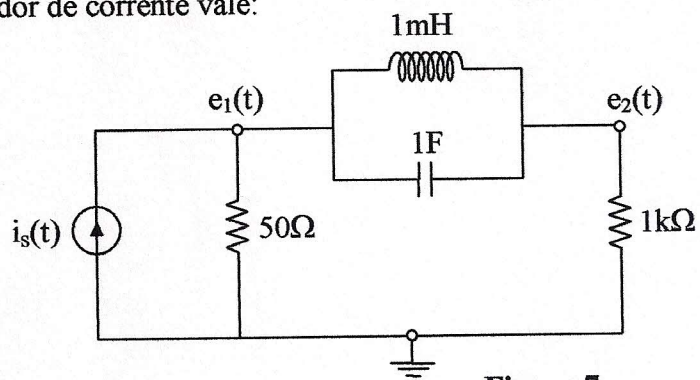


Figura 7

10 – O circuito da Figura 8 opera em regime permanente com

$$e_1(t) = \sqrt{2} \cos(t + 15^\circ), \text{ (V, s)}$$

$$e_2(t) = \sqrt{2} \cos(0,5t + 90^\circ), \text{ (V, s)}$$

A expressão que mais se aproxima de  $v(t)$  em (V, s) é dada por

- a)  $\cos(t + 30^\circ) + \cos(0,5t - 15^\circ)$
- b)  $5 \cos(t + 30^\circ) + 3 \cos(0,5t - 45^\circ)$
- c)  $\sqrt{2} \cos(t + 45^\circ) + \cos(0,5t + 60^\circ)$
- d)**  $\cos(t - 30^\circ) + 2 \cos(0,5t + 45^\circ)$
- e)  $2\sqrt{2} \cos(t + 60^\circ) + 4 \cos(0,5t + 30^\circ)$

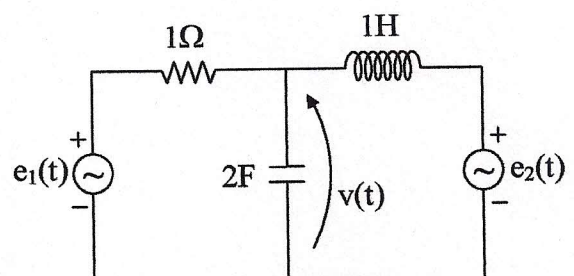


Figura 8

O circuito da Figura 9 opera em regime permanente senoidal (RPS). Considere esse circuito para os testes 11 e 12.

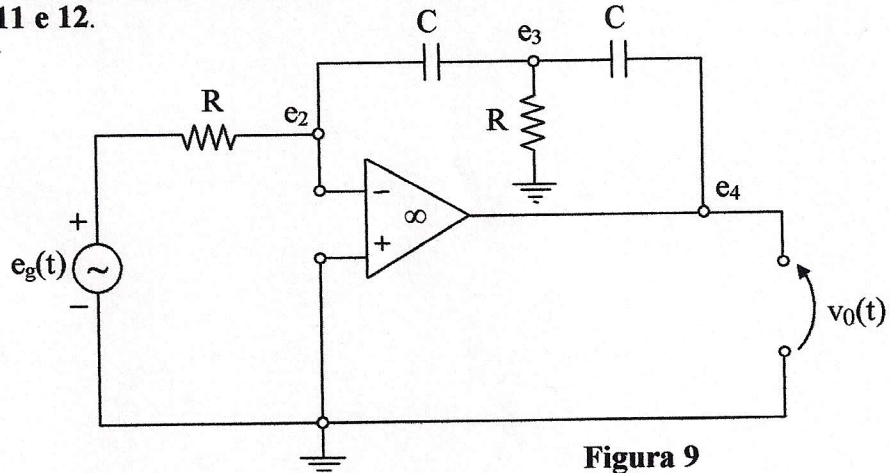


Figura 9

11 – A equação de análise nodal no nó 3 é

a)  $-\frac{1}{R} \hat{E}_2 + 2j\omega C \hat{E}_3 + \frac{1}{R} (\hat{E}_3 - \hat{E}_4) = 0$

b)  $-j\omega C \hat{E}_2 + \left( \frac{1}{R} + j\omega C \right) \hat{E}_3 - j\omega C \hat{E}_4 = 0$

c)  $-\frac{1}{R} (\hat{E}_2 - \hat{E}_3) + j\omega C \hat{E}_3 + j\omega C (\hat{E}_3 - \hat{E}_4) = 0$

d)  $-j\omega C (\hat{E}_2 - \hat{E}_3) - \frac{\hat{E}_3}{R} + j\omega C (\hat{E}_3 - \hat{E}_4) = 0$

e)  $-j\omega C \hat{E}_2 + \left( \frac{1}{R} + 2j\omega C \right) \hat{E}_3 - j\omega C \hat{E}_4 = 0$

12 – A expressão da resposta em frequência  $F(j\omega) = \frac{\hat{V}_0}{\hat{E}_g}$  é dada por

a)  $\frac{-1}{j\omega RC} \left( 2 + \frac{1}{j\omega RC} \right)$

b)  $\frac{-3}{j\omega RC}$

c)  $\frac{1}{\omega^2 R^2 C^2}$

d)  $- \left( \frac{2}{j\omega RC} + \frac{1}{j\omega RC} \right)$

e)  $\frac{-1}{j\omega RC} (1 - j\omega RC)$

## PSI3211 – Gabarito dos Testes de 09 a 12 da P2 – 2019

9) A equação de análise nodal do Nô 2 é dada por

$$-Y_{LC}\hat{E}_1 + (G + Y_{LC})\hat{E}_2 = 0$$

em que

$$Y_{LC} = j\omega C + \frac{1}{j\omega L}.$$

Substituindo os valores dos componentes e comparando com a equação fornecida, temos

$$\frac{1}{j\omega 10^{-3}} + j\omega \cdot 1 = -j90$$

ou ainda

$$\left( \frac{1000}{\omega} - \omega \right) = 90,$$

$$\omega^2 + 90\omega - 1000 = 0.$$

As raízes dessa equação são  $\omega_1 = -100$  e  $\omega_2 = 10$ . Como a frequência angular do gerador deve ser positiva, chega-se a

$\omega = 10 \text{ rad/s}$

10) Devemos usar superposição.

a) Inativando o gerador de tensão  $e_2(t)$  e mantendo  $e_1(t)$  [ $\omega = 1 \text{ rad/s}$ ], o fasor da tensão do capacitor é igual a

$$\hat{V}' = \hat{E}_1 \frac{Z_{LC}}{R + Z_{LC}}$$

em que

$$Z_{LC} = \frac{1}{j\omega C + \frac{1}{j\omega L}} = \frac{1}{j2 - j} = -j.$$

Assim,

$$\hat{V}' = \sqrt{2} e^{j15^\circ} \frac{-j}{1 - j} = e^{-j30^\circ}$$

e

$$v'(t) = \cos(t - 30^\circ).$$

- b) Inativando o gerador de tensão  $e_1(t)$  e mantendo  $e_2(t)$  [ $\omega = 0,5 \text{ rad/s}$ ], o fasor da tensão do capacitor é

$$\hat{V}'' = \hat{E}_2 \frac{Z_{RC}}{j\omega L + Z_{RC}}$$

em que

$$Z_{RC} = \frac{1}{G + j\omega C} = \frac{1}{1 + j} = 0,5 - j0,5.$$

Assim,

$$\hat{V}'' = \sqrt{2} e^{j90^\circ} \frac{0,5 - j0,5}{j0,5 + 0,5 - j0,5} = \sqrt{2} e^{j90^\circ} \sqrt{2} e^{-j45^\circ} = 2e^{j45^\circ}$$

e

$$v''(t) = 2 \cos(0,5t + 45^\circ).$$

- c) Usando o princípio da superposição de efeitos, temos  $v(t) = v'(t) + v''(t)$ , ou seja,

$$v(t) = \cos(t - 30^\circ) + 2 \cos(0,5t + 45^\circ).$$

- 11) A 1ª LK aplicada ao nodal do Nô 3 leva a

$$-j\omega C(\hat{E}_2 - \hat{E}_3) + \frac{1}{R}\hat{E}_3 + j\omega C(\hat{E}_3 - \hat{E}_4) = 0$$

ou ainda

$$-j\omega C\hat{E}_2 + \left( \frac{1}{R} + j2\omega C \right) \hat{E}_3 - j\omega C\hat{E}_4 = 0.$$

- 12) Aplicando a 1ª LK ao nodal do Nô 2 e lembrando que não cai tensão na entrada do amp-op ideal e que as correntes em seus terminais de entrada são nulas, chega-se a

$$\frac{1}{R}\hat{E}_g = j\omega C(\hat{E}_2 - \hat{E}_3).$$

Sabe-se que  $\hat{E}_2 = 0$  (terra virtual), assim

$$\hat{E}_3 = -\frac{\hat{E}_g}{j\omega RC}.$$

Usando esses resultados na equação do Nô 3, obtida no item anterior, chega-se a

$$\underbrace{\hat{E}_4}_{\hat{V}_0} = \frac{1}{j\omega C} \left( \frac{1}{R} + j2\omega C \right) \frac{-\hat{E}_g}{j\omega RC}.$$

Finalmente,

$$\frac{\hat{V}_0}{\hat{E}_g} = -\frac{1}{j\omega RC} \left( 2 + \frac{1}{j\omega RC} \right).$$